

## ستز و مشخصه‌یابی پودر کامپوزیتی $\text{SrFe}_{12}\text{O}_{19}/\text{SiO}_2/\text{TiO}_2$ با نانوساختار

### هسته/پوسته/پوسته

فاطمه باورسی‌ها<sup>۱</sup>، مهدی منتظری پور<sup>۲</sup>، مسعود رجبی<sup>۳\*</sup>، سمیرا غلامی<sup>۴</sup>، نعیمه مظفری<sup>۵</sup>

۱- کارشناس ارشد مهندسی مواد، گروه مهندسی مواد و سرامیک، دانشگاه بین‌المللی امام خمینی (ره)، قزوین، ایران

۲- استادیار، دپارتمان مهندسی مواد و شیمی، مرکز آموزش عالی فنی و مهندسی بوئین زهرا، بوئین زهرا، قزوین، ایران

۳- دانشیار، گروه مهندسی مواد و سرامیک، دانشگاه بین‌المللی امام خمینی (ره)، قزوین، ایران

۴- دانشجوی دکتری، گروه مهندسی مواد، دانشگاه بین‌المللی امام خمینی (ره)، قزوین، ایران

۵- دانشجوی دکتری، دانشکده مهندسی و علم کامپیوتر، دانشگاه ملی استرالیا، کانبرا، استرالیا

\*عهده دار مکاتبات: m.rajabি@eng.ikiu.ac.ir

(تاریخ دریافت: ۱۳۹۶/۰۴/۱۷، تاریخ پذیرش: ۱۳۹۶/۰۵/۲۷)

**چکیده:** در این تحقیق، پوشش‌دهی ذرات فوتوكاتالیستی تیتانیا بر روی کامپوزیت مغناطیسی  $\text{SrFe}_{12}\text{O}_{19}/\text{SiO}_2$  با موفقیت به

روش سل-ژل انجام پذیرفت. بدین منظور، ابتدا ذرات هگرا فریت استرانسیم به عنوان هسته مغناطیسی سخت در این کامپوزیت،

به روش هم‌رسوبی با استفاده از نسبت‌های مولی  $\text{Fe}^{3+}/\text{Si}^{2+}$  ۱۱ و ۱۲ و سپس انجام کلسیناسیون در دماهای مختلف تهیه گردید.

دیده شد که ذرات تک‌فاز بلور هگرا فریت استرانسیم با بهره‌گیری از نسبت مولی  $\text{Fe}^{3+}/\text{Sr}^{2+}=12$  و پس از کلسیناسیون در دمای

۹۵ درجه سانتی‌گراد به دست می‌آیند. در مرحله بعدی، پوشش‌دهی سیلیس با استفاده از پیش‌ماده ترا اتیل اورتو سیلیکات

(TEOS) و به روش استویر انجام شد. در مرحله نهایی، پوشش‌دهی تیتانیا بر روی کامپوزیت  $\text{SrFe}_{12}\text{O}_{19}/\text{SiO}_2$  با استفاده از

پیش‌ماده تیتانیم n-بوتوکساید (TNBT) حاصل گردید. کامپوزیت‌های تهیه شده با استفاده از الگوی پراش پرتو ایکس (XRD)،

میکروسکوپ الکترونی روبشی نشر میدانی (FESEM)، میکروسکوپ الکترونی عبوری (TEM)، طیف‌سنجی پراش انرژی پرتو

ایکس (EDX) و مغناطیس‌سنج ارتعاشی (VSM) مشخصه‌یابی شدند. نتایج، ساختار هسته/پوسته/پوسته کامپوزیت

SrFe<sub>12</sub>O<sub>19</sub>/SiO<sub>2</sub>/TiO<sub>2</sub> را تأیید نمود. آنالیز خواص مغناطیسی نشان داد که مغناطش اشباع ( $M_s$ ) پودر هگرا فریت استرانسیم به

صورت  $58 \text{ emu/g}$  به دست آمده است که بر اثر پوشش‌دهی پی‌درپی پوشش‌های SiO<sub>2</sub> و TiO<sub>2</sub>، این مقدار به ترتیب به  $56 \text{ emu/g}$  و  $37 \text{ emu/g}$  رسید.

### واژه‌های کلیدی:

هگرا فریت استرانسیم، کامپوزیت مغناطیسی، نانوساختارهای هسته/پوسته/پوسته، تیتانیا، سیلیس.

### ۱- مقدمه

جدیدی را در حوزه‌های علم مواد و شیمی گشوده است. پوشاندن ذرات با لایه نازکی از یک ماده سازگار با آن باعث می‌شود تا ساختار، اندازه و ترکیب چنین ذراتی قابل تغییر بوده و بدین وسیله خواص مغناطیسی، نوری، مکانیکی، حرارتی،

در طی سال‌های اخیر، پوشش دادن ذرات با ماده‌ای متفاوت جهت ایجاد ساختارهای هسته/پوسته توجه محققان را به خود جلب نموده است. چنین ساختارهایی دارای خواص جالب توجه و متفاوت نسبت به مواد تک جزیی هستند که سنتز آن‌ها افق

تیتانیا در صورت تماس مستقیم آن با هسته‌های مغناطیسی کاهش خواهد یافت که این ناشی از پدیده‌ی تجزیه و انحلال اثر نور توسط هسته‌ی مغناطیسی است، زیرا باند ظرفیت هسته‌ی مغناطیسی بالاتر از باند ظرفیت  $TiO_2$  بوده و باند هدایت آن پایین‌تر از باند هدایت  $TiO_2$  است که از لحاظ ترمودینامیکی باعث انتقال حامل‌های بار از  $TiO_2$  به هسته‌ی مغناطیسی و بازتر کیب زوج الکترون-حفره می‌شود. بنابراین طول عمر الکترون-حفره تولید شده کاهش می‌یابد [۱۸].

به منظور غلبه بر این مشکل می‌توان از کامپوزیت‌های هسته‌پوسته سه لایه استفاده کرد و بدین ترتیب با این روش می‌توان بین هسته‌ی مغناطیسی و پوسته‌ی  $TiO_2$ ، یک پوسته میانی  $SiO_2$  وارد کرد تا مانع از تماس الکتریکی و برهم کنش مستقیم بین هسته‌ی مغناطیسی و پوسته‌ی فوتوكاتالیستی شود. در نتیجه پوسته‌ی میانی  $SiO_2$  مانع از وقوع پدیده‌ی تجزیه و انحلال اثر نور می‌شود [۱۹-۲۲]. سیلیس با داشتن ثابت دی‌الکتریک در حدود ۴/۵ جزو یکی از مواد مهم است که از آن به دلیل مقاومت بیش از حد در برابر لخته‌ای شدن (عدم انعقاد) در تهیه‌ی مواد هسته‌پوسته استفاده می‌شود. خصوصیت عدم انعقاد سیلیس به پایین بودن ثابت هاماکر این ماده نسبت داده شده است. ثابت هاماکر نشان دهنده‌ی میزان نیروهای جاذبه واندروالسی میان ذره و محیط است. هم چنین، سیلیس از نظر شیمیایی خنثی بوده و بر واکنش‌های اکسایش-کاهش اتفاق افتاده بر روی سطح آن تأثیری ندارد [۲۳].

در بین مواد مغناطیسی، فریت‌های هگراگونال با فرمول شیمیایی  $MO.6Fe_2O_3$  (M=Pb, Ba, Sr) جزو مواد فری‌مغناطیسی کلی محسوب شده و به دلیل داشتن نیروی وادارندگی مغناطیسی بالا، پایداری شیمیایی مناسب و هزینه کم، سهم قابل توجهی از صنعت مواد مغناطیسی دائمی را در جهان به خود اختصاص داده‌اند. در این میان یکی از انواع مهم فریت‌های هگراگونال، هگرافیت استرانسیم است [۲۴]. روش مرسوم برای آماده‌سازی ذرات هگزا فریت، واکنش حالت جامد است که نیاز به دمای کلسیناسیون بالا دارد و موجب رشد بلورک‌ها و القای

الکتریکی و کاتالیستی آن‌ها کنترل می‌گردد [۱-۳]. اخیراً به تهیه ساختارهای هسته‌پوسته چند لایه پرداخته شده است که از یک هسته و چند پوسته به دور آن تشکیل می‌شود. به همین ترتیب نانوپوسته‌های چند لایه می‌توانند از یک دسته هسته‌پوسته تکرارشونده تشکیل شوند [۴].

استفاده از نیمه‌هادی‌های سرامیکی به عنوان فوتوكاتالیست در واکنش‌های شیمیایی توجه بسیاری از محققین رشته‌های مختلف را به خود جلب نموده است [۵]. دی‌اکسید تیتانیم نوع مرسوم و تجاری فوتوكاتالیست‌ها بوده که توانایی اکسندگی آن توسط محلول‌های آلی و غیر آلی متعددی اثبات شده است و به دلیل خواص فوتوكاتالیستی بالا، پایداری شیمیایی مناسب و غیرسمی بودن و سازگاری زیستی مورد توجه زیادی بوده است. در اثر تابش نور فرابنفش به فوتوكاتالیست در محیط حاوی عامل آلاینده، واکنش‌های اکسایش-احیا در دما و شرایط محیطی اتفاق افتاده و آلاینده‌ها به اجزای پایه غیر سمی هم‌چون دی‌اکسید کربن و آب تجزیه می‌شوند [۶-۹].

اما جداسازی آسان ذرات تیتانیا از محیط‌های آبی برای کاربردهای فوتوكاتالیستی اهمیت بسیاری دارد. از یک طرف جداسازی و بازیابی آن‌ها نیاز به فرآیندهای پیشرفته‌ای دارد که هزینه‌ها را افزایش می‌دهد. از سوی دیگر جداسازی تیتانیا ممکن است به طور کامل صورت نگیرد که تیتانیای باقی‌مانده، آلودگی ثانویه ایجاد می‌کند [۱۰-۱۲]. در راستای حل این مشکلات تلاش‌های متعددی انجام پذیرفته است. به عنوان نمونه، نانوبلورهای تیتانیا بر روی موادی ثابت مانند شیشه و غیره پوشش داده می‌شوند تا بازده جداسازی بهبود یابد [۱۳-۱۵]. اما فعالیت فوتوكاتالیستی به دلیل کاهش مساحت سطح ویژه کاهش می‌یابد. یک راه حل ممکن برای غلبه بر این مشکلات، استفاده از نانوکامپوزیت‌هایی با ساختار هسته‌پوسته است. در واقع می‌توان از ذرات مغناطیسی به عنوان هسته و پوشش تیتانیا بر روی این ذرات به عنوان پوسته استفاده کرد. از این طریق، کنترل و جمع آوری این فوتوكاتالیست‌ها به کمک میدان‌های مغناطیسی خارجی محقق می‌گردد [۱۶-۱۷]. اما فعالیت فوتوكاتالیستی

و ۱۲ و نسبت  $\text{OH}^-/\text{Cl}^-$  برابر ۲ در نظر گرفته شد [۲۸]. محلول‌های به دست آمده با استفاده از همزن مغناطیسی، مخلوط شدند. محلول سدیم هیدروکسید به صورت قطره قطره به محلول کلریدها اضافه شد تا رسوب قهوه‌ای رنگی به دست آید. pH محلول با استفاده از pH متر ۱۲-۱۳ اندازه‌گیری شد. رسوب به دست آمده با استفاده از کاغذ صافی از محلول جدا و چندین ساعت مرتبه با آب مقطر و اتانول شسته شد. سپس به مدت ۲۴ ساعت در خشک کن تحت دمای ۷۰ درجه‌ی سانتی گراد قرار گرفت تا عمل خشک کردن صورت پذیرد. در پایان پیش‌سازه به دست آمده در دماهای مختلف و به مدت یک ساعت کلسینه گردید.

### ۳-۲- پوشش‌دهی سیلیس به روش استوبر

جهت تهیه کامپوزیت  $\text{SrFe}_{12}\text{O}_{19}/\text{SiO}_2$  به روش استوبر ابتدا ۰/۰۳ گرم ذرات هگزا فریت استرانسیم تهیه شده بر طبق بخش قبل در ۲۵۰ میلی لیتر ایزوپروپانول در حمام اولتراسونیک پراکنده شد. سپس ۴ میلی لیتر آب مقطر، ۱ میلی لیتر ترا اتیل اورتو سیلیکات و ۰/۱۵ میلی لیتر آمونیوم هیدروکسید به آن اضافه شد. مخلوط به دست آمده تحت همزن در دمای اتاق قرار گرفت [۲۹]. ذرات به دست آمده با استفاده از آهنربای قوی از مخلوط جدا شد. سپس با استفاده از ایزوپروپانول و آب مقطر شسته و در نهایت به مدت ۲۴ ساعت در دمای ۴۰ درجه سانتی گراد در یک آون خلاخشک گردید [۶، ۳۰].

### ۴- پوشش‌دهی تیتانیا بر روی ذرات کامپوزیت $\text{SrFe}_{12}\text{O}_{19}/\text{SiO}_2$

جهت پوشش‌دهی تیتانیا، ابتدا ۰/۲۴ گرم ذرات هگزا فریت استرانسیم پوشش داده شده با سیلیس، در ۱۴۰ میلی لیتر اتانول و ۲ میلی لیتر آب مقطر در حمام اولتراسونیک پراکنده شد. سپس محلولی شامل ۰/۴۵ میلی لیتر تیتانیم-n-بوتوکساید و ۱۰ میلی لیتر اتانول تهیه شد و به صورت قطره قطره به مخلوط اضافه شد و تحت همزن مغناطیسی قرار گرفت. مخلوط تحت سیستم رفلکس و در دمای ۹۰ درجه سانتی گراد به مدت ۲ ساعت قرار گرفت. کامپوزیت به دست آمده با استفاده از آهنربای از مخلوط

تفجوشی و کلوخه‌ای شدن در ذرات می‌شود. بنابراین به منظور دستیابی به ذرات ریز هموژن از پودر هگزا فریت، روش‌های مختلفی از جمله روش همروسوبی توسعه پیدا کرده است. یکنواختی ترکیب شیمیایی، واکنش‌پذیری زیاد پیش‌سازه حاصل از همروسوبی، ذرات ریز با خلوص بالا و تشکیل فریت در دماهای پایین از جمله مزایای این روش نسبت به روش مرسوم است [۲۸-۲۵].

در این پژوهش، تهیه کامپوزیت فوتوكاتالیست  $\text{SrFe}_{12}\text{O}_{19}/\text{SiO}_2/\text{TiO}_2$  با بهره‌گیری از طریقه پوشش‌دهی به روش شیمیایی تر انجام پذیرفته است. در این راستا ابتدا هسته‌ی مغناطیسی هگزا فریت استرانسیم به کمک پیش‌ماده‌های کلریدی و با استفاده از روش جدید همروسوبی در محیط اتانول/آب تهیه شد. سپس کامپوزیت  $\text{SrFe}_{12}\text{O}_{19}/\text{SiO}_2$  با استفاده از پیش‌ماده ترا اتیل اورتو سیلیکات (TEOS) به دست آمد. در نهایت پوسته‌ای از  $\text{TiO}_2$  به طور مستقیم بر روی آن پوشش داده شد. پس از ساخت این فوتوكاتالیست کامپوزیتی، در ادامه به بررسی خواص ساختاری و مغناطیسی حاصل پرداخته شده است.

## ۲- مواد و روش انجام تحقیق

### ۲-۱- مواد شیمیایی

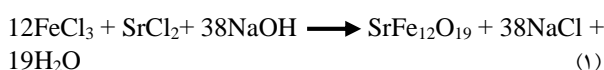
کلرید آهن شش آبه ( $\text{FeCl}_3 \cdot 6\text{H}_2\text{O}$ )، کلرید استرانسیم شش آبه ( $\text{SrCl}_2 \cdot 6\text{H}_2\text{O}$ )، آمونیوم هیدروکسید (۰/۲۵٪ وزنی،  $\text{NH}_3 \cdot \text{H}_2\text{O}$ )، سدیم هیدروکسید ( $\text{NaOH}$ )، اتانول ( $\text{C}_2\text{H}_5\text{OH}$ )، ایزوپروپانول ( $\text{C}_3\text{H}_8\text{O}$ )، ترا اتیل اورتو سیلیکات (TEOS)، تیتانیم-n-بوتوکساید (TNBT) از شرکت مرک تهیه شد و مورد استفاده قرار گرفت.

### ۲-۲- سترن هگزا فریت استرانسیم به روش همروسوبی

جهت آماده‌سازی پودر هگزا فریت استرانسیم به روش همروسوبی به شرح ذیل عمل شد. ابتدا محلول‌های کلرید آهن و کلرید استرانسیم در مخلوطی از اتانول/آب مقطر با نسبت حجمی ۱:۳ تهیه شد. نسبت مولی آهن به استرانسیم برابر با ۱۱

پیک های پراش مرتبط به این فاز در شکل (۱-الف) با علامت (●) مشخص شده است، اما فازهای  $\text{Sr}_2\text{Fe}_2\text{O}_5$  (شماره کارت ۰۳۳-۰۶۷۷)،  $\text{SrFeO}_{2.97}$  (شماره کارت ۰۹۰۵-۰۴۰) و  $\text{SrFe}_2\text{O}_5$  (شماره کارت ۱۳۲۰-۰۳۷) نیز در ترکیب مشاهده می شود که در شکل (۱-الف) به ترتیب با علامت های □، ▲ و # مشخص شده اند. وجود این فازها در الگوی پراش اشعه ایکس نمونه کلسینه شده در دمای ۸۰۰ درجه سانتی گراد بیانگر آن است که نمونه با استفاده از نسبت مولی آهن به استرانسیم ۱۱ تک فاز نشده است. این موضوع بر خلاف نتیجه گزارش های قبلی برای ستر هگزا فریت باریم در محیط اتانول/آب است که می تواند ناشی از حلایت بهتر کاتیون  $\text{Sr}^{+2}$  در این محیط باشد [۲۸، ۳۱].

با بررسی ناخالصی ها و با افزایش نسبت مولی آهن به استرانسیم ۱۲، مشاهده شد که ناخالصی های  $\text{Sr}_2\text{Fe}_2\text{O}_5$  و  $\text{SrFe}_2\text{O}_5$  حذف شده است (شکل ۱-ب). زیرا افزایش دما سبب تکمیل واکنش تشکیل فاز بلوری هگزا فریت استرانسیم می شود و خلوص مناسب را فراهم می کند [۳۲]. به منظور بهبود خواص کریستالی و در نتیجه کمیت پیک های حاصل از فاز بلوری هگزا فریت استرانسیم، نمونه هایی در دماهای ۸۵۰ و ۹۵۰ درجه سانتی گراد کلسینه شد. شکل (۱-ج) و (۱-د) به ترتیب الگوی پراش پرتو ایکس نمونه های تهیه شده با نسبت مولی آهن به استرانسیم ۱۲ و در دماهای ۸۵۰ و ۹۵۰ درجه سانتی گراد را نشان می دهد. واکنش محتمل در راستای تشکیل استوکیومتری هگزا فریت استرانسیم می تواند به صورت زیر باشد [۳۳]:



با توجه به شکل (۱-د) مشاهده می شود که با افزایش دما تا ۹۵۰ درجه سانتی گراد، تک فاز بلوری هگزا فریت استرانسیم با تطابق خوبی به دست آمده است. این پودر به عنوان هسته انتخاب شد.

جدا شد و چند بار با استفاده از آب و اتانول شسته شد. سپس در خشک کن به مدت دو روز در دمای ۶۰ درجه سانتی گراد خشک شد. در پایان در دمای ۵۰۰ درجه سانتی گراد به مدت ۱ ساعت کلسینه شد.

## ۲-۵-بورسی خواص فوتوكاتالیستی

در این پژوهش از تجزیه رنگ آلی متین آبی به کمک تابش نور UV به عنوان مدلی جهت ارزیابی خواص فوتوكاتالیستی استفاده شد. در این راستا  $30\text{ میلی گرم}$  پودر فوتوكاتالیستی  $\text{SrFe}_{12}\text{O}_{19}/\text{SiO}_2/\text{TiO}_2$  تهیه شده به  $30\text{ میلی لیتر}$  محلول متین آبی ( $50\text{ میلی گرم بر لیتر}$ ) افزوده شد. سپس مخلوط آماده شده در این شرایط تحت تابش نور UV قرار گرفت و در فواصل زمانی مشخص، تغییرات شدت جذب محلول به دست آمده به وسیله طیف سنجی UV-Vis در محدوده طول موج  $400\text{ تا }800\text{ نانومتر}$  اندازه گیری گردید.

## ۲-۶-مشخصه هایی

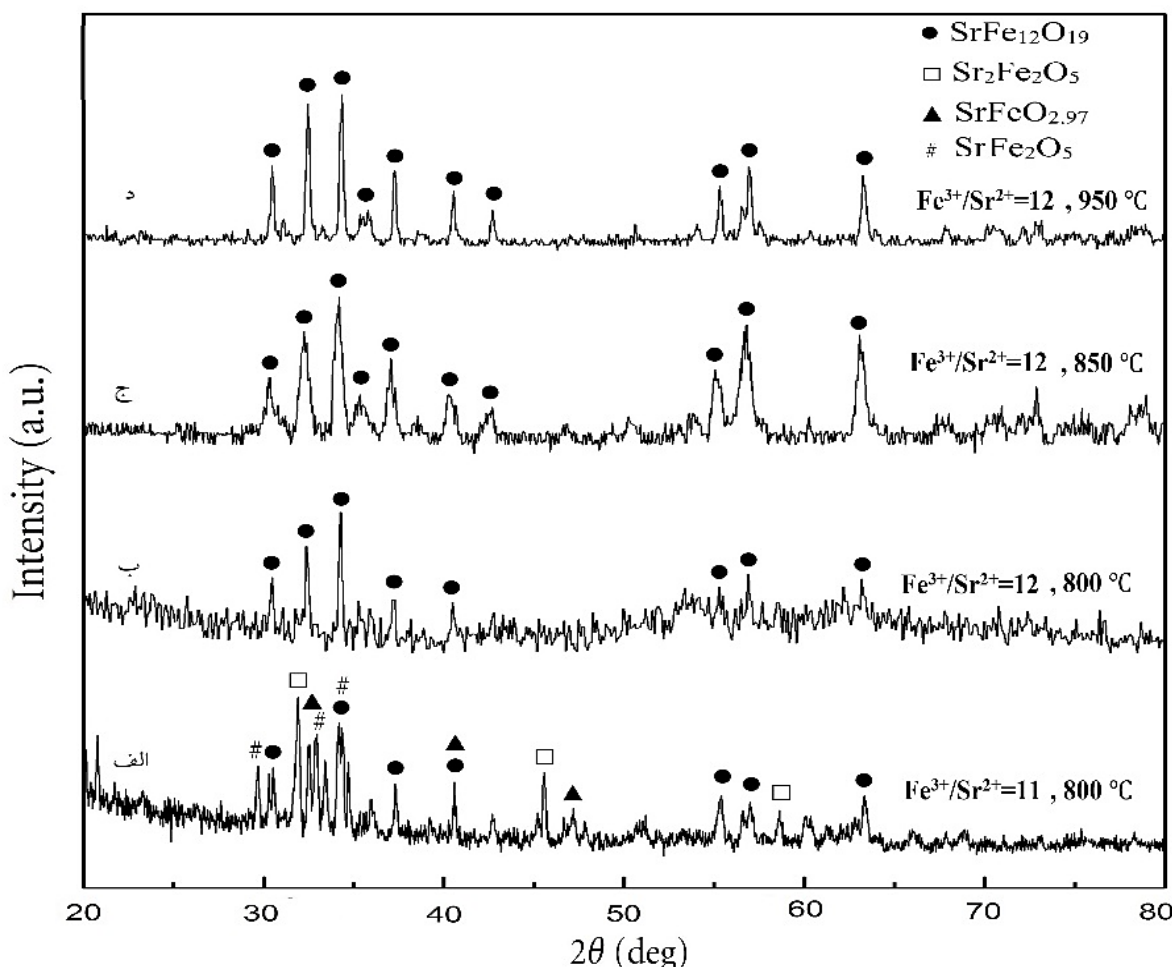
جهت شناسایی ترکیب فازی نمونه های تهیه شده، الگوی پراش پرتو ایکس (XRD، Philips PW1730، هلند) آن ها به دست آمد. ریخت شناسی کامپوزیت های تهیه شده، با استفاده از میکروسکوپ الکترونی روبشی گسیل میدانی (FESEM، شرکت TE-SCAN، مدل MIRA3) و میکروسکوپ الکترونی عبوری (TEM، ۱۰۰ kV، TEM، ۱۰۰ kV، Zeiss 906) انجام شد. هم چنین خواص مغناطیسی آن ها با استفاده از آنالیز دستگاه مغناطیس سنج نمونه ارتعاشی (VSM، شرکت مغناطیس دقیق کویر کاشان، مدل MDK6) بررسی گردید.

## ۳-نتایج و بحث

شکل (۱-الف) الگوی پراش پرتو ایکس پودر هگزا فریت استرانسیم در دمای ۸۰۰ درجه سانتی گراد و با نسبت مولی آهن به استرانسیم ۱۱ را نشان می دهد. همان طور که در شکل مشاهده می شود؛ فاز هگزا فریت استرانسیم (منطبق با شماره کارت ۱۴۱۱-۰۷۹) به عنوان فاز اصلی تشکیل شده است که

می‌دهد. با توجه به آمورف بودن فاز سیلیس انتظار می‌رود پیک پراشی برای آن به دست نیاید [۳۴].

شکل (۲) الگوی پراش پرتو ایکس کامپوزیت فتوکاتالیستی با ساختار هسته/پوسته/پوسته را نشان می‌دهد.

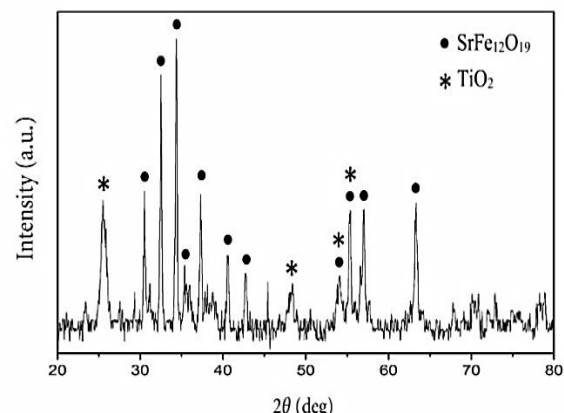


شکل (۱): الگوهای پراش پرتو ایکس برای نمونه‌های مختلف پودر هگزا فریت استرانسیم سترن شده

پیک‌های پراش مشخص شده با علامت (●) در شکل (۲)، فاز  $\text{SrFe}_{12}\text{O}_{19}$  (شماره کارت ۱۴۱۱-۰۷۹) را نشان می‌دهد.  
پیک‌های پراش مشخص شده با علامت (\*) فاز آناتاز  $\text{TiO}_2$  (شماره کارت ۱۷۶۴-۰۷۳) را نشان می‌دهد [۳۵].

شکل (۳) تصویر FESEM ذرات هگزا فریت استرانسیم تهیه شده به روش هم‌رسوبی با نسبت مولی آهن به استرانسیم ۱۲ و کلسینه شده در دمای ۹۵۰ درجه سانتی گراد را نشان می‌دهد.

میانگین اندازه‌ی ذرات  $\text{SrFe}_{12}\text{O}_{19}$  نمونه‌های تهیه شده با استفاده از نرم‌افزار آنالیز تصاویر متالوگرافی Image J، به طور



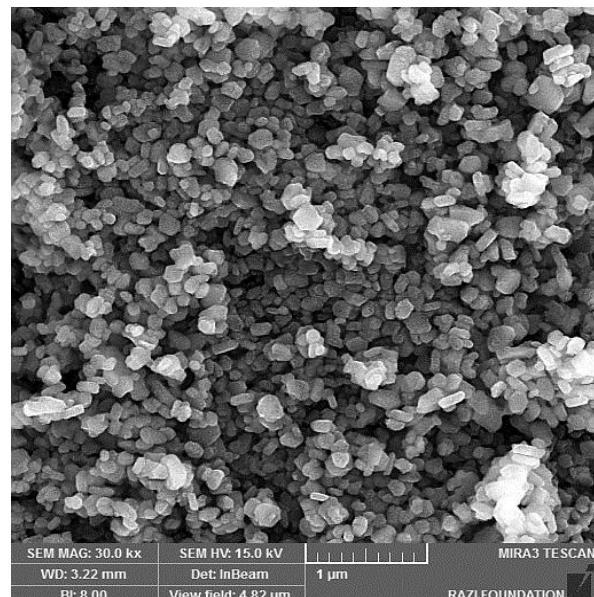
شکل (۲): الگوهای پراش پرتو ایکس کامپوزیت فتوکاتالیستی  $\text{SrFe}_{12}\text{O}_{19}/\text{SiO}_2/\text{TiO}_2$



شکل (۴): تصاویر TEM نanosاختارهای: (الف): پودر فریت استرانسیم،  
SrFe<sub>12</sub>O<sub>19</sub>/SiO<sub>2</sub>/TiO<sub>2</sub> و (ب): SrFe<sub>12</sub>O<sub>19</sub>/SiO<sub>2</sub>

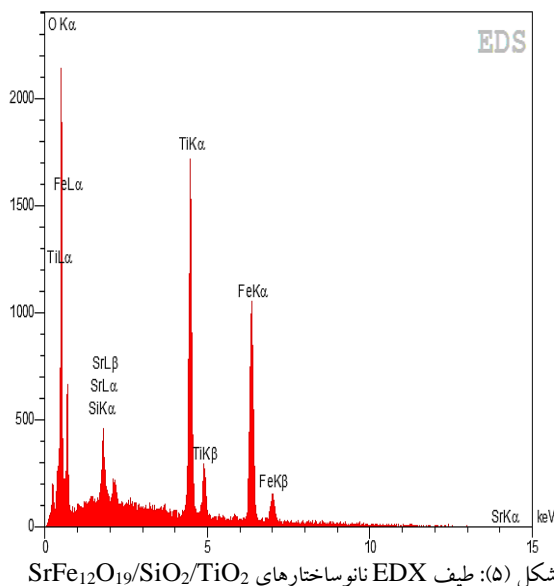
بنابراین لایه‌نشانی لایه‌ی سیلیس بر روی ذرات مغناطیسی  
با استفاده از روش سل-ژل توسط فرآیند هیدرولیز  
SrFe<sub>12</sub>O<sub>19</sub>

تقربی ۱۲۲ نانومتر به دست آمد. همان‌طور که در شکل (۳)  
مشاهده می‌شود توزیع اندازه ذرات SrFe<sub>12</sub>O<sub>19</sub> حاصل نسبتاً  
باریک است.



شکل (۳): تصویر FESEM ذرات آماده شده SrFe<sub>12</sub>O<sub>19</sub>

شکل‌های (۴-الف)، (۴-ب) و (۴-ج) به ترتیب تصاویر TEM  
را برای پودر فریت استرانسیم، کامپوزیت‌های  
SrFe<sub>12</sub>O<sub>19</sub>/SiO<sub>2</sub> نشان می‌دهند که حاکی از تشکیل  
ساختار هسته/پوسته در کامپوزیت‌های سنتز شده می‌باشد. شکل  
(۴-ب) بیانگر وجود پوششی نازک، هموار و نسبتاً روشن تر  
نسبت به ناحیه کدر مربوط به ذرات SrFe<sub>12</sub>O<sub>19</sub> می‌باشد که  
مؤید پوشش دهنده پوسته SiO<sub>2</sub> بر روی ذرات SrFe<sub>12</sub>O<sub>19</sub>  
می‌باشد [۳۰].

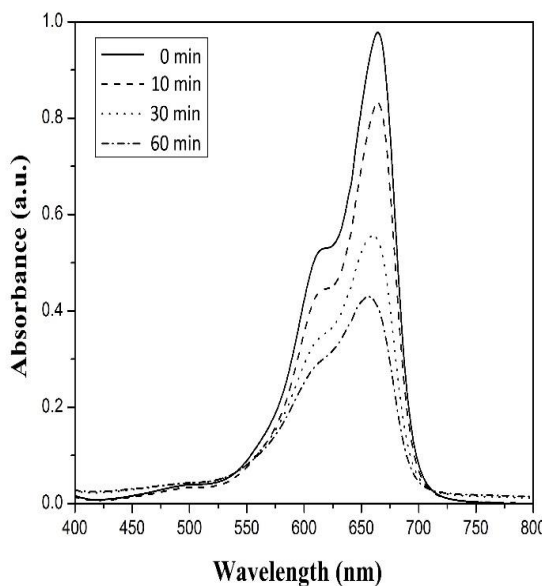
شکل (۵): طیف EDX نانوساختارهای  $\text{SrFe}_{12}\text{O}_{19}/\text{SiO}_2/\text{TiO}_2$ 

منحنی تغییرات خواص مغناطیسی پودر هگزا فریت استرانسیم (با نسبت مولی آهن به استرانسیم ۱۲ و کلسینه شده در دمای  $950^{\circ}\text{C}$ ) و نانوساختارهای  $\text{SrFe}_{12}\text{O}_{19}/\text{SiO}_2$  و  $\text{SrFe}_{12}\text{O}_{19}/\text{SiO}_2/\text{TiO}_2$  در شکل (۶) آورده شده است. در اثر پوشش دهی پی درپی پوشش‌های  $\text{SiO}_2$  و  $\text{TiO}_2$ ، مغناطش اشباع پودر بهینه  $\text{SrFe}_{12}\text{O}_{19}$  تهیه شده از  $\text{g}/58 \text{emu}$  به ترتیب به  $56 \text{emu}/\text{g}$  و  $37 \text{emu}/\text{g}$  رسیده است.

بر طبق نتایج شکل (۶) احتمال می‌رود که میزان خاصیت مغناطیسی ارتباط مستقیمی با میزان پوشش دهی در نانوساختارهای  $\text{SrFe}_{12}\text{O}_{19}/\text{SiO}_2$  و  $\text{SrFe}_{12}\text{O}_{19}/\text{SiO}_2/\text{TiO}_2$  داشته باشد. به طوری که ضخامت کمتر پوشش سیلیس نسبت به پوشش تیتانیا منجر به کاهش کمتری در خاصیت مغناطیسی این کامپوزیت‌ها شده است.

هوانگ و همکارانش [۳۸] کامپوزیت مغناطیسی با پوشش تیتانیا تهیه کردند. مغناطش اشباع کامپوزیت فتوکاتالیستی سترن شده توسط آنها  $32 \text{emu}/\text{g}$  به دست آمد و بیان کردند این مقدار جهت جداسازی مغناطیسی مناسب است. در این تحقیق، مقدار مغناطش اشباع پودر نهایی به دست آمده  $37 \text{emu}/\text{g}$  می‌باشد که بدین ترتیب جهت جداسازی مغناطیسی و بازیابی مجدد قابل

و تراکم پیش ماده TEOS در محلوطی از نسبت مناسب ایزوپروپانول و آمونیا (روش اصلاح شده استوبر) به صورت موقتی آمیز انجام پذیرفته است و کامپوزیت  $\text{SrFe}_{12}\text{O}_{19}/\text{SiO}_2$  با ساختار هسته/پوسته تشکیل شده است. فو و همکارانش [۳۰] کامپوزیت  $\text{SrFe}_{12}\text{O}_{19}/\text{SiO}_2$  با ضخامت‌های مختلفی از سیلیس تهیه کردند. فرآیند پوشش دهی در دمای  $45^{\circ}\text{C}$  درجه سانتی گراد انجام شد. پوشش به دست آمده ناهموار بوده که می‌تواند به دلیل استفاده از دما و تسریع تشکیل فرآیند هیدرولیز و چگالش TEOS باشد. بیشینه پوشش سیلیس به دست آمده در این کامپوزیت  $15 \text{ nm}$  گزارش شده است. در این پژوهش، ضخامت پوسته  $\text{SiO}_2$  به طور تقریبی،  $20 \text{ nm}$  بودست آمد. شکل (۴-ج) پوشش دهی لایه‌ی تیتانیا را بر روی کامپوزیت  $\text{SrFe}_{12}\text{O}_{19}/\text{SiO}_2$  نشان می‌دهد. سطوح ناهموار ذرات کامپوزیت نهایی به دست آمده حاکی از آن است که پوشش دهی ذرات تیتانیا انجام شده است که می‌توان نتیجه گرفت که ساختار هسته/پوسته/پوسته شکل گرفته است. با این حال جاذبه مغناطیسی بین ذرات هگزا فریت استرانسیم و گردنی شدن بین لایه‌های پوشانده شده بر ذرات مغناطیسی باعث تشدید اگلومراسیون بین ذرات کامپوزیتی شده است. در این راستا، استفاده از دستگاه اولتراسونیک قوی‌تر در کاهش اگلومراسیون و پوشش دهی یکنواخت تر تیتانیا می‌تواند مؤثر باشد [۳۶-۳۷]. ضخامت پوشش  $\text{TiO}_2$  به طور تقریبی،  $28 \text{ nm}$  است. شکل (۵) طیف EDS نانوساختارهای  $\text{SrFe}_{12}\text{O}_{19}/\text{SiO}_2/\text{TiO}_2$  را نشان می‌دهد که بر طبق آن، حضور عناصر  $\text{Sr}$ ,  $\text{O}$ ,  $\text{Fe}$ ,  $\text{Si}$  و  $\text{Ti}$  در نانوساختار تهیه شده می‌تواند تأیید گردد.

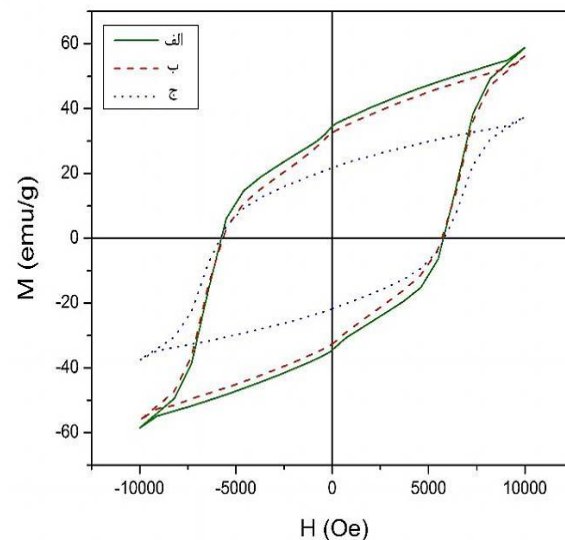


شکل (۷): منحنی های جذب محلول متیلن آبی (با غلظت اولیه ۵۰ میلی گرم بر لیتر) حاصل از زمان های متفاوت تابش نور UV

#### ۴- نتیجه گیری

از روش های شیمیایی تربه صورت موفقیت آمیز جهت تولید کامپوزیت مغناطیسی دارای خواص فتو کاتالیستی بهره گیری شد. در این راستا، پیش سازه هگزافریت استرانسیم در بستر آب و اتانول و به روش هم رسوی (pH=۱۲-۱۳) تهیه گردید. پودر تک فاز هگزافریت استرانسیم با بلورینگی مناسب بعد از انجام کلسینیاسیون پیش سازه حاصل در دمای ۹۵۰ درجه سانتی گراد، با میانگین اندازه ذرات ۲۲۲ نانومتر و مغناطش اشعاع SiO<sub>2</sub> به دست آمد. پوشش دهی SiO<sub>2</sub> بر روی ذرات هگزافریت استرانسیم جهت تهیه کامپوزیت SrFe<sub>12</sub>O<sub>19</sub>/SiO<sub>2</sub> و بدون استفاده از دما انجام شد. پوشش SiO<sub>2</sub> به دست آمده سطحی هموار داشته و پوشش دهی موجب کاهش خاصیت مغناطیسی ذرات هگزافریت استرانسیم شده است. ساخت کامپوزیت SrFe<sub>12</sub>O<sub>19</sub>/SiO<sub>2</sub>/TiO<sub>2</sub> دارای ساختار هسته/پوسته با استفاده از پیش ماده تیتانیم n-بوتوکساید انجام گرفت. خاصیت مغناطیسی کامپوزیت تهیه شده ۳۷ emu/g به دست آمد. پودر فتو کاتالیستی تهیه شده قابلیت بازیابی مغناطیسی خوبی داشت.

قبول است. این خاصیت موجب می شود این مواد کامپوزیتی در فرآیندهای تصفیه آب با کمترین آلودگی های ثانویه قابل استفاده باشند.



شکل (۶): منحنی های VSM شاندندهای مشخصه های مغناطیسی: (الف): پودر SrFe<sub>12</sub>O<sub>19</sub>/SiO<sub>2</sub>، (ب): نanosaxtارهای SrFe<sub>12</sub>O<sub>19</sub>/SiO<sub>2</sub> و (ج): نانوساختارهای SrFe<sub>12</sub>O<sub>19</sub>/SiO<sub>2</sub>/TiO<sub>2</sub> در دمای اتاق

در شکل (۷) تغییرات جذب متیلن آبی بر اثر افزودن ۰/۰۳ گرم پودر SrFe<sub>12</sub>O<sub>19</sub>/SiO<sub>2</sub>/TiO<sub>2</sub>، در مدت زمان های مختلف نشان داده شده است. بیشینه شدت جذب محلول متیلن آبی در ۶۶۴ نانومتر است. بر اثر تابش نور UV در مدت زمان های ۱۰، ۳۰ و ۶۰ دقیقه شدت جذب به ترتیب به ۴۳٪، ۴۳٪ و ۵۶٪ کاهش یافته است. حذف تدریجی رنگ متیلن آبی، حضور و پوشش دهی لایه فتو کاتالیستی TiO<sub>2</sub> را بر روی کامپوزیت مغناطیسی SrFe<sub>12</sub>O<sub>19</sub>/SiO<sub>2</sub> تأیید می نماید.

هوانگ و همکارانش [۳۸] با تهیه کامپوزیت فتو کاتالیستی Fe<sub>3</sub>O<sub>4</sub>/SiO<sub>2</sub>/TiO<sub>2</sub>، به تحریب ۷۰٪ متیلن آبی در مدت زمان ۳۰۰ دقیقه دست یافتند. در این پژوهش درصد تحریب متیلن آبی در مدت زمان ۶۰ دقیقه با استفاده از ذرات اولیه هگزافریت استرانسیم ۵۶٪ به دست آمد.

- application potential for photoanode electrodes of dye sensitized solar cells”, Journal of Ceramic Processing Research, Vol. 14, No. 5, pp. 595-600, 2013.
- [10] N. Bouanimba, R. Zouaghi, N. Laid & T. Sehili, “Factors influencing the photocatalytic decolorization of Bromophenol blue in aqueous solution with different types of TiO<sub>2</sub> as photocatalysts”, Desalination, Vol. 275, No. 1, pp. 224-230, 2011.
- [11] K. W. Kim, S. H. You, S. S. Park, G. H. Kang, W. T. Bae & D. W. Shin, “Effect of experimental conditions on photocatalytic efficiency in TiO<sub>2</sub> powder slurry systems”, Journal of Ceramic Processing Research, Vol. 9, No. 5, pp. 530-537, 2008.
- [۱۲] س. نقیی، ا. جمشیدی، م. بروزگر و س. رمضانی، ”بررسی ریزساختاری لایه نازک تیتانیا بر روی فولاد ۳۱۶ به روش سل-تل (بهینه‌سازی متغیرهای فرآیند با روش آماری تاگوچی)”， فصلنامه فرآیندهای نوین در مهندسی مواد، دوره ۶، شماره ۴، ۷۹-۸۹. ۱۳۹۱.
- [13] J. Byrne, B. Eggins, N. Brown, B. McKinney & M. Rouse, “Immobilisation of TiO<sub>2</sub> powder for the treatment of polluted water”, Applied Catalysis B: Environmental, Vol. 17, No. 1, pp. 25-36, 1998.
- [14] X. Chen, C. Li, J. Wang, J. Li, X. Luan, Y. Li, R. Xu & B. Wang, “Investigation on solar photocatalytic activity of TiO<sub>2</sub> loaded composite: TiO<sub>2</sub>/eggshell, TiO<sub>2</sub>/clamshell and TiO<sub>2</sub>/CaCO<sub>3</sub>”, Materials Letters, Vol. 64, No. 13, pp. 1437-1440, 2010.
- [15] A. Haarstrick, O. M. Kut & E. Heinzel, “TiO<sub>2</sub>-assisted degradation of environmentally relevant organic compounds in wastewater using a novel fluidized bed photoreactor”, Environmental science & technology, Vol. 30, No. 3, pp. 817-824, 1996.
- [16] X. Shihong, W. Shangguan, Y. Jian, C. Mingxia & S. Jianwei, “Preparation and Photocatalytic Properties of Magnetically Separable TiO<sub>2</sub> Supported on Nickel Ferrite\*\* Supported by Shanghai Nano Technology Special Program (No. 0452nm017)”, Chinese Journal of Chemical Engineering, Vol. 15, No. 2, pp. 190-195, 2007.
- [17] Z. Wang, L. Shen & S. Zhu, “Synthesis of core-shell Fe<sub>3</sub>O<sub>4</sub>@SiO<sub>2</sub>@TiO<sub>2</sub> microspheres and their
- ۵- مراجع
- [1] G. Li, Z. Wang, M. Yu, Z. Quan & J. Lin, “Fabrication and optical properties of core-shell structured spherical SiO<sub>2</sub>@GdVO<sub>4</sub>: Eu<sup>3+</sup> phosphors via sol-gel process”, Journal of Solid State Chemistry, Vol. 179, No. 8, pp. 2698-2706, 2006.
- [2] G. Liu, G. Hong & D. Sun, “Synthesis and characterization of SiO<sub>2</sub>/Gd<sub>2</sub>O<sub>3</sub> : Eu core-shell luminescent materials”, Journal of Colloid and Interface Science, Vol. 278, No. 1, pp. 133-138, 2004.
- [۳] ن. لاری، ش. آهنگرانی و ع. شانقی، ”بررسی رفتار نوری پوشش‌های چندلایه-کامپوزیت تیتانیا-سیلیکا اعمال شده با روش سل-تل”， فصلنامه فرآیندهای نوین در مهندسی مواد، دوره ۴، شماره ۴، ۱۷۳-۱۶۳. ۱۳۹۴.
- [4] S. Kalele, S. Gosavi, J. Urban & S. Kulkarni, “Nanoshell particles: synthesis, properties and applications”, Current science, pp. 1038-1052, 2006.
- [5] I. Okura & M. Kaneko, “Photocatalysis science and technology”, Ed., Springer, Berlin, 2002.
- [6] V. Tizjang, M. Montazeri Pour, M. Rajabi, M. Kari & S. Moghadas, “Surface modification of sol-gel synthesized TiO<sub>2</sub> photo-catalysts for the production of core/shell structured TiO<sub>2</sub>-SiO<sub>2</sub> nano-composites with reduced photo-catalytic activity”, Journal of Materials Science: Materials in Electronics, Vol. 26, No. 5, pp. 3008-3019, 2015.
- [7] W. Bahneemann, M. Munee & M. Haque, “Titanium dioxide-mediated photocatalysed degradation of few selected organic pollutants in aqueous suspensions”, Catalysis Today, Vol. 124, No. 3, pp. 133-148, 2007.
- [8] M. Kari, M. Montazeri Pour, M. Rajabi, V. Tizjang & S. Moghadas, “Maximum SiO<sub>2</sub> layer thickness by utilizing polyethylene glycol as the surfactant in synthesis of core/shell structured TiO<sub>2</sub>-SiO<sub>2</sub> nano-composites”, Journal of Materials Science: Materials in Electronics, Vol. 25, No. 12, pp. 5560-5569, 2014.
- [9] M. Montazeri Pour, N. Riahi Noori & A. Mehdikhani, “Synthesis of single-phase anatase TiO<sub>2</sub> nanoparticles by hydrothermal treatment with

- strontium-ferrite and its characterization”, Journal of Materials Science, Vol. 24, No. 10, pp. 3739-3744, 1989.
- [28] M. Montazeri Pour & A. Ataie, “Synthesis of nanocrystalline barium ferrite in ethanol/water media”, Journal of Materials Science & Technology, Vol. 25, No. 4, pp. 465-469, 2009.
- [29] D. L. Green, J. S. Lin, Y. F. Lam, M. Z. C. Hu, D. W. Schaefer & M. T. Harris, “Size, volume fraction, and nucleation of Stober silica nanoparticles”, Journal of Colloid and Interface Science, Vol. 266, No. 2, pp. 346-358, 2003.
- [30] W. Fu, H. Yang, Q. Yu, J. Xu, X. Pang & G. Zou, “Preparation and magnetic properties of SrFe<sub>12</sub>O<sub>19</sub>/SiO<sub>2</sub> nanocomposites with core-shell structure”, Materials Letters, Vol. 61, No. 11, pp. 2187-2190, 2007.
- [31] A. Ataie & M. Montazeri Pour, “Formation mechanism of BaFe<sub>12</sub>O<sub>19</sub> nanoparticles processed via wet chemical route using mixed solvent”, International Journal of Nanoscience, Vol. 10, No. 4&5, pp. 1083-1086, 2011.
- [32] A. Drmota, M. Drofenik & A. Žnidarsič, “Synthesis and characterization of nano-crystalline strontium hexaferrite using the co-precipitation and microemulsion methods with nitrate precursors”, Ceramics International, Vol. 38, No. 2, pp. 973-979, 2012.
- [33] M. Ganjali, M. Ganjali, A. Eskandari & M. Aminzare, “Effect of heat treatment on structural and magnetic properties of nanocrystalline SrFe<sub>12</sub>O<sub>19</sub> hexaferrite synthesized by Co-precipitation method”, Journal of Advanced Materials and Processing, Vol. 1, No. 4, pp. 41-48, 2013.
- [34] Y. Chi, Q. Yuan, Y. Li, L. Zhao, N. Li, X. Li & W. Yan, “Magnetically separable Fe<sub>3</sub>O<sub>4</sub>@SiO<sub>2</sub>@TiO<sub>2</sub>-Ag microspheres with well-designed nanostructure and enhanced photocatalytic activity”, Journal of hazardous materials, Vol. 262, pp. 404-411, 2013.
- [35] Z. Teng, X. Su, G. Chen, C. Tian, H. Li, L. Ai & G. Lu, “Superparamagnetic high-magnetization composite microspheres with Fe<sub>3</sub>O<sub>4</sub>@SiO<sub>2</sub> core and highly crystallized mesoporous TiO<sub>2</sub> shell”, Colloids and Surfaces A: Physicochemical and Engineering Aspects, Vol. 402, pp. 60-65, 2012.
- application as recyclable photocatalysts”, International Journal of Photoenergy, Vol. 2012, 2012.
- [18] D. Beydoun, R. Amal, G. Low & S. McEvoy, “Occurrence and prevention of photodissolution at the phase junction of magnetite and titanium dioxide”, Journal of Molecular Catalysis A: Chemical, Vol. 180, No. 1, pp. 193-200, 2002.
- [19] H. Liu, Z. Jia, S. Ji, Y. Zheng, M. Li & H. Yang, “Synthesis of TiO<sub>2</sub>/SiO<sub>2</sub>@ Fe<sub>3</sub>O<sub>4</sub> magnetic microspheres and their properties of photocatalytic degradation dyestuff”, Catalysis Today, Vol. 175, No. 1, pp. 293-298, 2011.
- [20] Q. Yu, C. Zhou & X. Wang, “Influence of plasma spraying parameter on microstructure and photocatalytic properties of nanostructured TiO<sub>2</sub>-Fe<sub>3</sub>O<sub>4</sub> coating”, Journal of Molecular Catalysis A: Chemical, Vol. 283, No. 1, pp. 23-28, 2008.
- [21] D. Beydoun, R. Amal, G. K. C. Low & S. McEvoy, “Novel photocatalyst: titania-coated magnetite. Activity and photodissolution”, The Journal of Physical Chemistry, Vol. 104B, No. 18, pp. 4387-4396, 2000.
- [22] S. Watson, D. Beydoun & R. Amal, “Synthesis of a novel magnetic photocatalyst by direct deposition of nanosized TiO<sub>2</sub> crystals onto a magnetic core”, Journal of Photochemistry and Photobiology A: Chemistry, Vol. 148, No. 1, pp. 303-313, 2002.
- [23] D. H. Everett, “Basic principles of colloid science”, Royal Society of Chemistry, 1988.
- [24] M. Radwan, M. Rashad & M. Hessien, “Synthesis and characterization of barium hexaferrite nanoparticles”, Journal of Materials Processing Technology, Vol. 181, No. 1, pp. 106-109, 2007.
- [25] M. Hessien, M. Radwan & M. Rashad, “Enhancement of magnetic properties for the barium hexaferrite prepared through ceramic route”, Journal of analytical and applied pyrolysis, Vol. 78, No. 2, pp. 282-287, 2007.
- [26] H. F. Yu & K. C. Huang, “Effects of pH and citric acid contents on characteristics of ester-derived BaFe<sub>12</sub>O<sub>19</sub> powder”, Journal of Magnetism and Magnetic Materials, Vol. 260, No. 3, pp. 455-461, 2003.
- [27] S. Kulkarni, J. Shrotri, C. Deshpande & S. Date, “Synthesis of chemically coprecipitated hexagonal

- [36] J. W. Lee, K. Hong, W. S. Kim & J. Kim, "Effect of HPC concentration and ultrasonic dispersion on the morphology of titania-coated silica particles", Journal of Industrial and Engineering Chemistry, Vol. 11, No. 4, pp. 609-614, 2005.
- [37] S. C. Pang, S. Y. Kho & S. F. Chin, "Fabrication of Magnetite/Silica/Titania Core-Shell Nanoparticles", Journal of Nanomaterials, Vol. 2012, pp. 6, 2012.
- [38] X. Huang, G. Wang, M. Yang, W. Guo & H. Gao, "Synthesis of polyaniline-modified  $\text{Fe}_3\text{O}_4/\text{SiO}_2/\text{TiO}_2$  composite microspheres and their photocatalytic application", Materials Letters, Vol. 65, No. 19, pp. 2887-2890, 2011.

## Synthesis and characterization of SrFe<sub>12</sub>O<sub>19</sub>/SiO<sub>2</sub>/TiO<sub>2</sub> composite powder with core/Shell/Shell nanostructure

**Fatemeh Bavarsiha<sup>1</sup>, Mehdi Montazeri Pour<sup>2</sup>, Masoud Rajabi<sup>3\*</sup>, Samira Gholami<sup>4</sup>, Naeimeh Mozaffari<sup>5</sup>**

1- M.Sc., Department of Metallurgy and Materials Science, Imam Khomeini International University, Qazvin, Iran

2- Assistant Professor, Department of Chemical and Materials Engineering, Buein Zahra Technical University, Buein Zahra, Qazvin, Iran

3- Associate Professor, Department of Metallurgy and Materials Science, Imam Khomeini International University, Qazvin, Iran

4- Ph.D. Student, Department of Metallurgy and Materials Science, Imam Khomeini International University, Qazvin, Iran

5- Ph.D. Student, College of Engineering & Computer Science, Australian National University, Canberra, Australia

\*Corresponding author: m.rajabi@eng.ikiu.ac.ir

### Abstract

In this research study, the coating of titania particles on the SrFe<sub>12</sub>O<sub>19</sub>/SiO<sub>2</sub> composite was successfully accomplished by the sol-gel process. For this purpose, first, the strontium hexaferrite particles were prepared by co-precipitation route with Fe<sup>3+</sup>/Sr<sup>2+</sup> molar ratios of 11 and 12 and subsequent calcination treatment. The formation of single phase strontium hexaferrite particles, as hard magnetic cores of the composite, was attained in the molar ratio of Fe<sup>3+</sup>/Sr<sup>2+</sup>=12 after calcination at 950 °C. In the next step, the silica coating of hexaferrite particles was performed using the tetraethyl orthosilicate (TEOS) precursor via the Stöber method. In the end, the covering of titania particles on the SrFe<sub>12</sub>O<sub>19</sub>/SiO<sub>2</sub> composite was carried out by utilizing titanium n-butoxide (TNBT) precursor. The as-prepared composites were characterized by X-ray diffraction (XRD), field emission scanning electron microscopy (FESEM), transmission electron microscopy (TEM), energy dispersive X-ray (EDX) and vibrating sample magnetometry (VSM) analyses. The results confirmed the core/shell/shell structure of the synthesized SrFe<sub>12</sub>O<sub>19</sub>/SiO<sub>2</sub>/TiO<sub>2</sub> composite. The analysis of the magnetic properties showed that saturation magnetization (M<sub>s</sub>) of strontium hexaferrite powder was obtained as 58 emu/g. After the successive coating of SiO<sub>2</sub> and TiO<sub>2</sub> shells, this amount has reached to 56 emu/g and 37 emu/g, respectively.

**Keywords:** Strontium Hexaferrite, Magnetic Composite, Core/Shell/Shell Nano-structures, Titania, Silica.

Journal homepage: ma.iaumajlesi.ac.ir

### Please cite this article using:

Fatemeh Bavarsiha, Mehdi Montazeri Pour, Masoud Rajabi, Samira Gholami, Naeimeh Mozaffari, Synthesis and characterization of SrFe<sub>12</sub>O<sub>19</sub>/SiO<sub>2</sub>/TiO<sub>2</sub> composite powder with core/Shell/Shell nanostructure, in Persian, New Process in Material Engineering, 2018, 12(3), 137-148.